

Some Techniques of Image Matting

10421038 董子龙
浙江大学 CAD&CG 实验室
浙江大学计算机系

摘要:

图像和视频抠图(Matting)技术可以分成自动和半自动;根据背景的先验知识,又有蓝屏背景,已知背景,和自然背景扣图。报告介绍了自然背景下的半自动扣图,以及能获得类似结果的技术,如 Snapping。其中我实现了 Bayesian Matting。

一、 Introduction

Image Matting 是将图像的背景和前景分离的技术,广泛用于图像合成和影视特技制作中。最早的技术在如蓝色绿色等单色背景下将前景物体分离,之后通过已知自然背景包含和剔除前景物体的两幅图像求解,类似的是同一个前景物体在多个背景下的多幅图像,最新的技术都是处理自然背景的单幅图像的半自动学习方法,包括将 Image Matting 的技术应用到视频,可以将运动的物体抠出,并合成到任意场景中。报告主要介绍半自动学习技术。

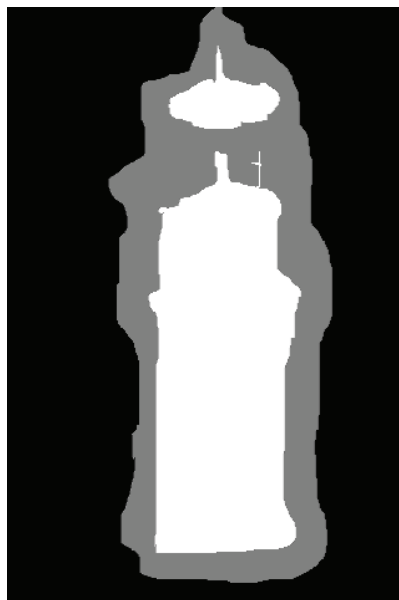
所谓半自动,是因为实现用户必须在图像上预先指定三个区域(Trimap):背景(黑色)、前景(白色)、未知区域(灰色),图 1(b)。根据已知确定的前景背景,半自动技术才能一边学习一边求解。当然也有其它的交互方式,不一定需要这么详致的信息,在 2.3 和 2.4 种都是特殊的更为简化的交互。

Matting 一般基于公式 1, C 为未知点的颜色, α 是透明度, B 是背景色, F 是前景色:

$$C = \alpha F + (1 - \alpha)B \quad (1)$$



(a)



(b)

图 1

二、 Image Matting

2.1. A Bayesian Approach to Digital Matting [1] (CVPR 2001)

Bayesian Matting (BM)定义一个 Bayesian 框架来公式化 Matting 的参数, 并求解一个最大后验问题。BM 的改进还在于, 通过滑动的窗口, 将已经计算出来的未知区域也作为样本数据, 这样在过渡区域获得更好的效果。BM 的记过比之前所有的方法都要好。

2.1.1 Bayesian Framework

如公式 2, 其中 F 、 B 、 α 分别是需要求解的背景色、前景色、和不透明度, C 是已经知道的图像上一点的颜色。在 C 已知前提下, 求使得概率 P 最大的 F 、 B 、 α , 就是我们需要做的事情。 L 是对数函数, 将乘法化为加法, 简化计算。

$$\begin{aligned} \arg \max_{F,B,\alpha} P(F, B, \alpha | C) & \quad (2) \\ &= \arg \max_{F,B,\alpha} P(C | F, B, \alpha) P(F) P(B) P(\alpha) / P(C) \\ &= \arg \max_{F,B,\alpha} L(C | F, B, \alpha) + L(F) + L(B) + L(\alpha), \end{aligned}$$

对等式右侧的四项分别建模:

$L(C|F, B, \alpha)$ 对应以 σ_c 为标准差, 中心在 $\alpha F - (1 - \alpha)B$ 的高斯分布, 公式 3。

$$L(C | F, B, \alpha) = -\|C - \alpha F - (1 - \alpha)B\|^2 / \sigma_c^2. \quad (3)$$

$L(F)$ 也对应一个高斯分布(公式 6), 通过空间的耦合性, 即相邻像素的颜色, 计算期望(公式 7)和协方差矩阵(公式 8)。先以未知点为中心的圆采样, 不断扩大搜索半径, 直到采到足够的已知背景和前景点, 其中所有的已经求解的点也加入样本, 样本根据颜色聚类。每一个样本点对应一个权值(公式 4)。其中 α_i 是不透明度, g_i 是以距离为参数一个高斯衰减函数。

$$w_i = \alpha_i^2 g_i \quad (4)$$

$$W = \sum_{i \in N} w_i \quad (5)$$

$$L(F) = -(F - \bar{F})^T \Sigma_F^{-1} (F - \bar{F}) / 2. \quad (6)$$

$$\bar{F} = \frac{1}{W} \sum_{i \in N} w_i F_i \quad (7)$$

$$\Sigma_F = \frac{1}{W} \sum_{i \in N} w_i (F_i - \bar{F})(F_i - \bar{F})^T \quad (8)$$

$L(B)$ 与 $L(F)$ 类似, 只是把全 w 的 α_i 替换成 $1 - \alpha_i$ 。

$L(\alpha)$ 被当作定值。

2.1.2 求解过程

求解的是一个迭代过程。先假设 α 确定, 对公式 1 右侧求偏导数, 得到 6 元一次方程组(公式 9), 转化为一个简单的解线形方程组问题。

$$\begin{aligned} & \begin{bmatrix} \Sigma_F^{-1} + I\alpha^2/\sigma_C^2 & I\alpha(1-\alpha)/\sigma_C^2 \\ I\alpha(1-\alpha)/\sigma_C^2 & \Sigma_B^{-1} + I(1-\alpha)^2/\sigma_C^2 \end{bmatrix} \begin{bmatrix} F \\ B \end{bmatrix} \\ & = \begin{bmatrix} \Sigma_F^{-1}\bar{F} + C\alpha/\sigma_C^2 \\ \Sigma_B^{-1}\bar{B} + C(1-\alpha)/\sigma_C^2 \end{bmatrix}, \quad (9) \end{aligned}$$

将公式 8 解得的结果投射到颜色空间(公式 10)，得到新的 α ，再代入公式 9。

$$\alpha = \frac{(C - B) \cdot (F - B)}{\|F - B\|^2}. \quad (10)$$

初始的 α 可以取附近像素的 α 平均值。如果样本有多个类，则对前背景的本样本聚类一一对应求解，并取使公式 1 最大的解。

2.2. Poisson Matting [2] (Siggraph 2004)

Poisson Matting(PM) 是在图像的亮度梯度场上求解一个泊松方程，确定 α 。PM 首先在全局上求解，得到的结果通过多种局部滤波方式选择性的改进。由于给了用户更多的交互手段，处理复杂的场景比 BM 更加稳定。

2.2.1 泊松方程

将公式 1 表示为公式 11，对公式 11 两边求偏导数得到公式 12。左侧对应的就是输入图像的亮度梯度，只是估计值。假定背景和前景都是比较光滑的，那么项 $\alpha\nabla F + (1-\alpha)\nabla B$ 近似为零，公式 12 变换成公式 13，这是对 α 的梯度估计，PM 就是在这个梯度场上解出 α 。

$$I = \alpha F + (1 - \alpha)B \quad (11)$$

$$\nabla I = (F - B)\nabla\alpha + \alpha\nabla F + (1 - \alpha)\nabla B \quad (12)$$

$$\nabla\alpha \approx \frac{1}{F - B}\nabla I \quad (13)$$

相应的泊松方程是公式 14， $\Delta = (\frac{\partial^2}{\partial x^2} + \frac{\partial^2}{\partial y^2})$ 是拉普拉斯算子， div 是散度运算。其狄

利克雷边界条件 $\alpha|_{\partial\Omega}$ 定义如公式 15，其中 $\partial\Omega, \Omega_F, \Omega_B$ 代表未知区域的外边界，前景，背景，如图 2(a)。

$$\Delta\alpha = div\left(\frac{\nabla I}{F - B}\right) \quad (14)$$

$$\hat{\alpha}_p|_{\partial\Omega} = \begin{cases} 1 & p \in \Omega_F \\ 0 & p \in \Omega_B \end{cases} \quad (15)$$

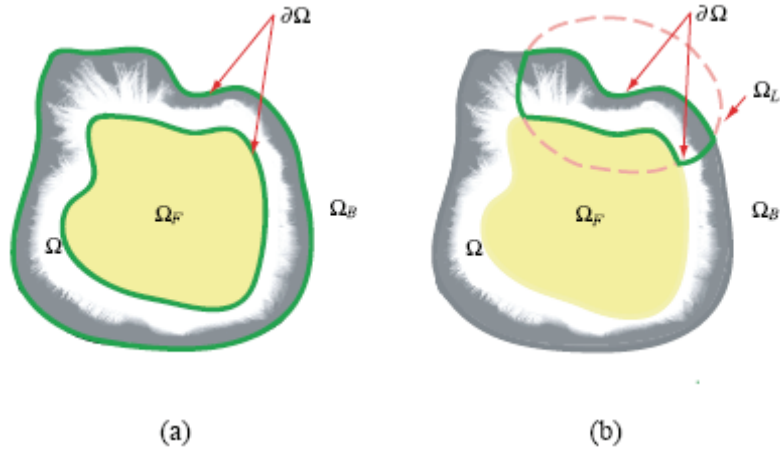


图 2

2.2.2 全局求解

这也是一个迭代优化，有三个步骤：

- 1) 初始化 ($F-B$) 项，因为 F 和 B 未知，分别近似为在 Ω_F, Ω_B 中最邻近的像素。
- 2) 计算 α ，求解公式 14。
- 3) F, B 优化，使 $\Omega_F^+ = \{p \in \Omega \mid \alpha_p > 0.95, I_p \approx F_p\}$ ，即把几乎全部是前景色的像素加入到 Ω_F^+ ；类似的， $\Omega_B^+ = \{p \in \Omega \mid \alpha_p < 0.05, I_p \approx B_p\}$ 。然后将 Ω 中的 F, B 更新到在 Ω_F^+ 和 Ω_B^+ 与之最近的像素颜色。

重复步骤 2, 3，直到 α 的变化足够小或 Ω_F^+ 和 Ω_B^+ 为空。

2.2.3 局部优化

局部优化事实上在全局求解结果不令人满意的区域加入用户的交互，使得对 α 梯度的估计更加准确，同时加入全局求解中被忽略的 $\alpha \nabla F + (1-\alpha) \nabla B$ 项，如图 2(b) 区域 Ω_L 。

此时的边界条件是公式 16， α_g 是全局求解的结果：

$$\hat{\alpha}_p|_{\partial\Omega} = \begin{cases} 1 & p \in \Omega_F \\ 0 & p \in \Omega_B \\ \alpha_g & p \in \Omega \end{cases} \quad (16)$$

2.3. GrabCut-Interactive Foreground Extraction using Iterated Graph Cuts [3](Siggraph 2004)

GrabCut 与上述两种 Matting 不太一样，首先是在先验知识的获取上，只需要用户在前景物周围画一个方框；其次，GrabCut 分成两个步骤，一是前景背景分割，二在膨胀的边界上在真正的 Matting，平滑过渡。GrabCut 在对比度较低的边界能获得比以往技术更好的结果，但是并不能处理复杂的情况，比如大面积的交错毛发，这是因为第一步的分割不能在 这些区域获得好结果。

2.3.1 数据模型

GrabCut 的数据模型建立在 GraphCut 的基础上，只是用了一个高斯混合模型(Gaussian Mixture Model)代替原先的直方图，与 Bayesian Framework 类似。

对于输入图像 $\mathbf{z} = (z_1, \dots, z_n, \dots, z_N)$ ，透明值表示成 $\alpha = (\alpha_1, \dots, \alpha_N)$ ， $0 \leq \alpha_n \leq 1$ ，若是强分割， $\alpha_n \in \{0,1\}$ ，0 表示背景，1 是前景。GrabCut 附加了一个向量 $\mathbf{k} = (k_1, \dots, k_n, \dots, k_N)$ ， $k_n \in \{1, \dots, K\}$ 到图像 \mathbf{z} ，代表来自背景或前景的一个 GMM。于是，定义 Gibbs 能量：

$$\mathbf{E}(\underline{\alpha}, \mathbf{k}, \underline{\theta}, \mathbf{z}) = U(\underline{\alpha}, \mathbf{k}, \underline{\theta}, \mathbf{z}) + V(\underline{\alpha}, \mathbf{z}) \quad (17)$$

能量 E 包含了数据项和平滑项。数据项 U (公式 18) 定义了 α 的分布与输入 \mathbf{z} 的匹配程度，其中 $D(\alpha_n, k_n, \underline{\theta}, z_n) = -\log p(z_n | \alpha_n, k_n, \underline{\theta}) - \log \pi(\alpha_n, k_n)$ 。 $p(\cdot)$ 是一个高斯概率分布， $\pi(\cdot)$ 是混合权系数；通过对数函数将乘法和指数运算转化成加减法，全部展开为公式 19。 μ, Σ 分别是高斯分布的均值和协方差矩阵。

$$U(\underline{\alpha}, \mathbf{k}, \underline{\theta}, \mathbf{z}) = \sum_n D(\alpha_n, k_n, \underline{\theta}, z_n) \quad (18)$$

$$D(\alpha_n, k_n, \underline{\theta}, z_n) = -\log \pi(\alpha_n, k_n) + \frac{1}{2} \log \det \Sigma(\alpha_n, k_n) + \frac{1}{2} [z_n - \mu(\alpha_n, k_n)]^\top \Sigma(\alpha_n, k_n)^{-1} [z_n - \mu(\alpha_n, k_n)] \quad (19)$$

于是，公式 19 相关的所有参数：

$$\underline{\theta} = \{\pi(\alpha, k), \mu(\alpha, k), \Sigma(\alpha, k), \alpha = 0, 1, k = 1 \dots K\} \quad (20)$$

最后是平滑项 V ，约束相邻像素应该有相同的 α ：

$$V(\underline{\alpha}, \mathbf{z}) = \gamma \sum_{(m,n) \in C} [\alpha_n \neq \alpha_m] \exp -\beta \|z_m - z_n\|^2 \quad (21)$$

γ 是个常数，根据经验确定为 50。 C 是像素之间的相邻关系，4 邻接或 8 邻接。 $[\cdot]$ 取 0 或 1，根据谓词 $\alpha_n \neq \alpha_m$ 。 β 取大于 0 的值可以放松在高对比度区域的平滑限制，所以

$$\beta = \left(2 \langle \|z_m - z_n\|^2 \rangle \right)^{-1} \quad (22)$$

$\langle \cdot \rangle$ 表示样本的数学期望。这样取值，保证了公式 21 的指数运算在高低对比度间适当的切换。 $\|\cdot\|$ 是像素颜色间的欧拉距离。

2.3.2 迭代最小化算法

GrabCut 在引入 GMM 的前提下，加入第二个改进，即迭代最小化算法。这使简化的交互成为可能，用户只需在前景物体周围拖动一个方框，如图 3(a) 的红色虚线，方框之外的区域被认为是背景。

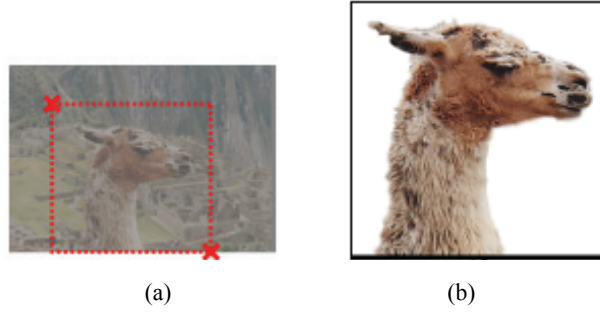


图 3

具体算法流程见[3]，图 3(b)是其中一个结果。

2.3.3 边界过渡

为了在边界上获得平滑过渡的效果，GrabCut首先将上一步得到的结果，生成新的三色图 $\{T_B, T_U, T_F\}$ ， T_U 是以边界轮廓线 C 为中心的宽 $2w$ 的窄带。

C 首先参数化成 $t=1, \dots, T$ ，因为 C 是闭合的，所以周期就是 T 。 T_U 的每一个点 n 对应一个索引 $t(n)$ 。在图 4 (b)中， C 就是黄色曲线，灰色区域是膨胀的边界区域，黑色边框包围的点有同一个 t ，称为一个 α 剖面， r_n 是点 n 到 C 的距离。对每一个 α 剖面都有一个平滑阶梯函数： $\alpha_n = g(r_n; \Delta_{t(n)}, \sigma_{t(n)})$ ，如图 4 (c)。

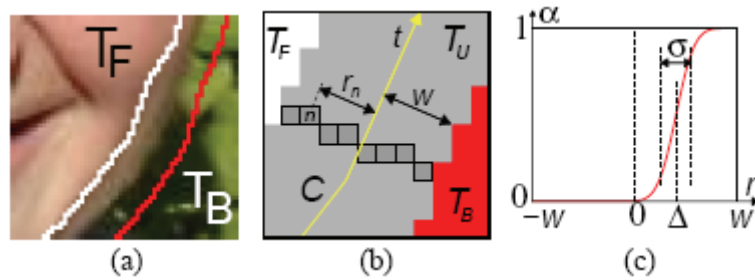


图 4

于是，我们要估计 $\Delta_1, \sigma_1, \dots, \Delta_T, \sigma_T$ ，通过动态规划最小化以下 Gibbs 能量：

$$E = \sum_{n \in T_U} \tilde{D}_n(\alpha_n) + \sum_{t=1}^T \tilde{V}(\Delta_t, \sigma_t, \Delta_{t+1}, \sigma_{t+1}) \quad (23)$$

$$\tilde{D}_n(\alpha_n) = -\log N(z_n; \mu_{t(n)}(\alpha_n), \Sigma_{t(n)}(\alpha_n)) \quad (24)$$

$$\mu_t(\alpha) = (1 - \alpha)\mu_t(0) + \alpha\mu_t(1) \quad (25)$$

$$\Sigma_t(\alpha) = (1 - \alpha)^2\Sigma_t(0) + \alpha^2\Sigma_t(1) \quad (25)$$

$$\tilde{V}(\Delta, \sigma, \Delta', \sigma') = \lambda_1(\Delta - \Delta')^2 + \lambda_2(\sigma - \sigma')^2 \quad (26)$$

最后，估计的前景色与已知的前景色比较，将差异最小的复制到当前区域，进一步保证平滑。

2.4. Lazy Snapping [4](Siggraph 2004)

Lazy Snapping 的模型基础也是 GraphCut，可以处理的情况与 GrabCut 相当。其特色在交互上，用户只需如图在前背景上简单的拖动曲线(如图 5)可以获得满意的效果，而且是实

时交互，用户可以随意的修改曲线的设定，同时进一步的优化修改交互工具也很简单稳定。这里简单说明一下 Lazy Snapping 的能量模型，更多的结果在[4]。

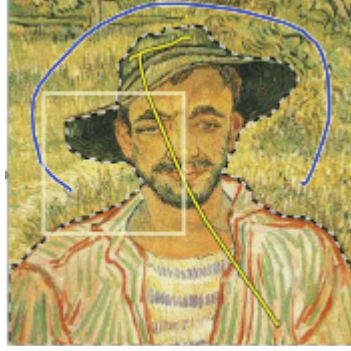


图 5

2.4.1 GraphCut 图像分割

图像被看成一个图， $G = \{V, \mathcal{E}\}$ ， V 是所有的节点， \mathcal{E} 是连接相邻节点的边。图像分割可以当作一个二元标记问题，每一个 $i \in V$ ，有唯一的一个 $x_i \in \{\text{前景为 1, 背景为 0}\}$ 与之对应。所有的 x_i 集合 X 可以通过最小化 Gibbs 能量 $E(X)$ 获得：

$$E(X) = \sum_{i \in V} E_1(x_i) + \lambda \sum_{(i,j) \in \mathcal{E}} E_2(x_i, x_j) \quad (27)$$

同样的，根据用户画的曲线，我们有前景节点集 F 和背景节点 B ，未知节点集 U 。首先用 K-Mean 方法将 F, B 的节点聚类，计算每一个类的平均颜色， $\{K_n^F\}$ 代表所有前景类的平均颜色集合，背景类是 $\{K_n^B\}$ 。计算每一个节点 i 到每一个前景类的最小距离 $d_i^F = \min \|C(i) - K_n^F\|$ ，和相应的背景距离 $d_i^B = \min \|C(i) - K_n^B\|$ ，定义公式 28：

$$\begin{cases} E_1(x_i=1) = 0 & E_1(x_i=0) = \infty & \forall i \in F \\ E_1(x_i=1) = \infty & E_1(x_i=0) = 0 & \forall i \in B \\ E_1(x_i=1) = \frac{d_i^F}{d_i^F + d_i^B} & E_1(x_i=0) = \frac{d_i^B}{d_i^F + d_i^B} & \forall i \in U \end{cases} \quad (28)$$

前两组等式保证定义与用户输入一致，第三组等式意味着与前背景的颜色相近度决定着未知点的标记。

E_2 定义为与梯度相关的一个函数：

$$\begin{aligned} E_2(x_i, x_j) &= |x_i - x_j| \cdot g(C_{ij}) \\ g(\xi) &= \frac{1}{\xi+1} \\ C_{ij} &= \|C(i) - C(j)\|^2 \end{aligned} \quad (29)$$

E_2 的作用是减少在颜色相近的像素之间，存在标记变化的可能，即使其只发生在边界上。

上述作用于像素的 GraphCut 因其效率并不适合实时交互。于是[4]在输入图像上进行预先作了过分割，然后把每一块当作一个像素来看待，颜色取均值，速度提升了 10 倍。

三、 Implementation

现在, 我只在 Windows2000+Visual C++6.0 下实现了 Bayesian Matting 算法, 结果和效率都基本和论文给出相似。程序界面如图 5, 左侧窗口点右键打开图像(显示), 右侧窗口打开三色图(Trimap 不显示), 点击 **B** 运行算法, 结果显示在右侧窗口中。

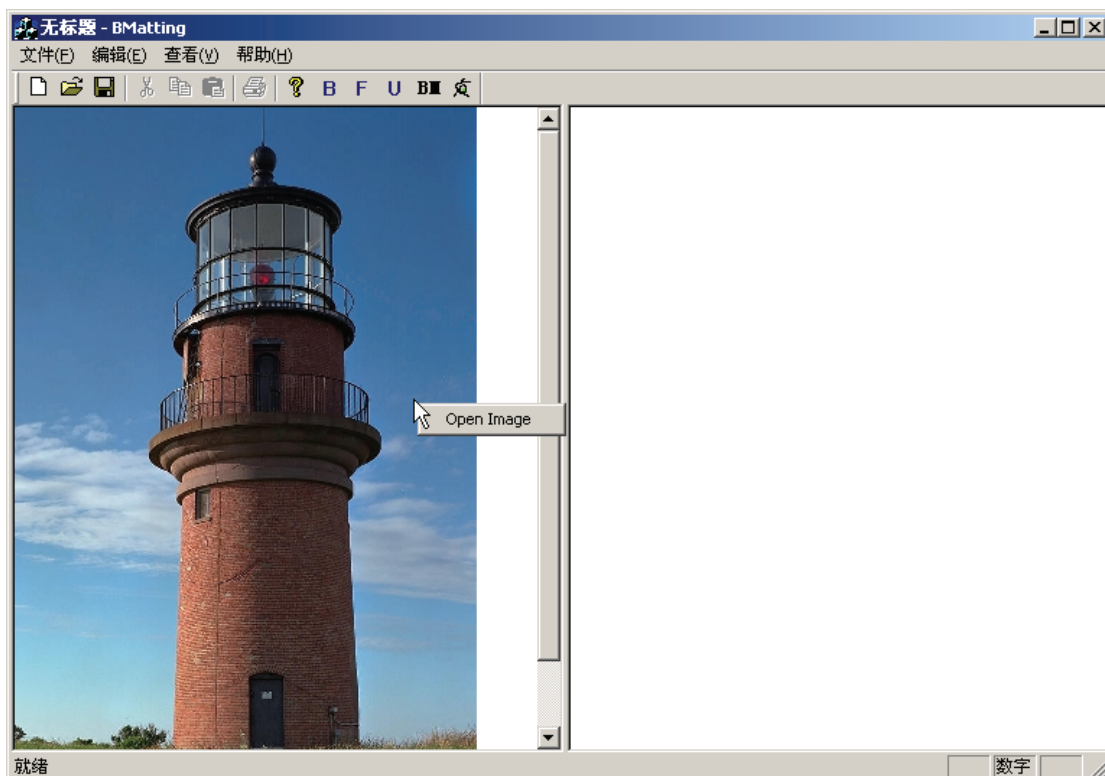


图 6

点击 **点**, 可以修改程序参数:

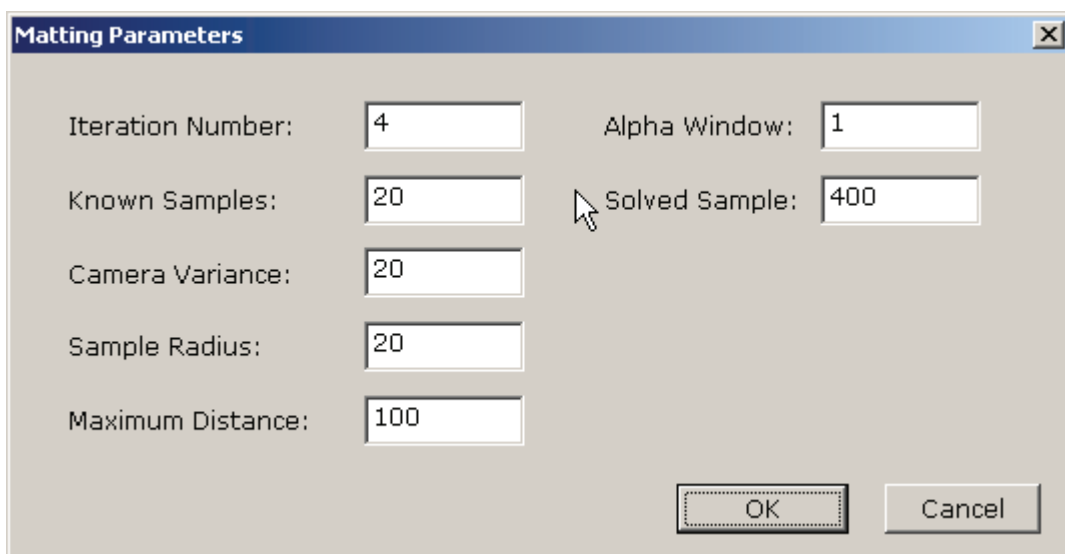


图 7

图 8, 9, 10, 11, 12 是试验结果, 运行时间在 20 秒到 2 分钟, 有些并不是最好的结果:



图 8

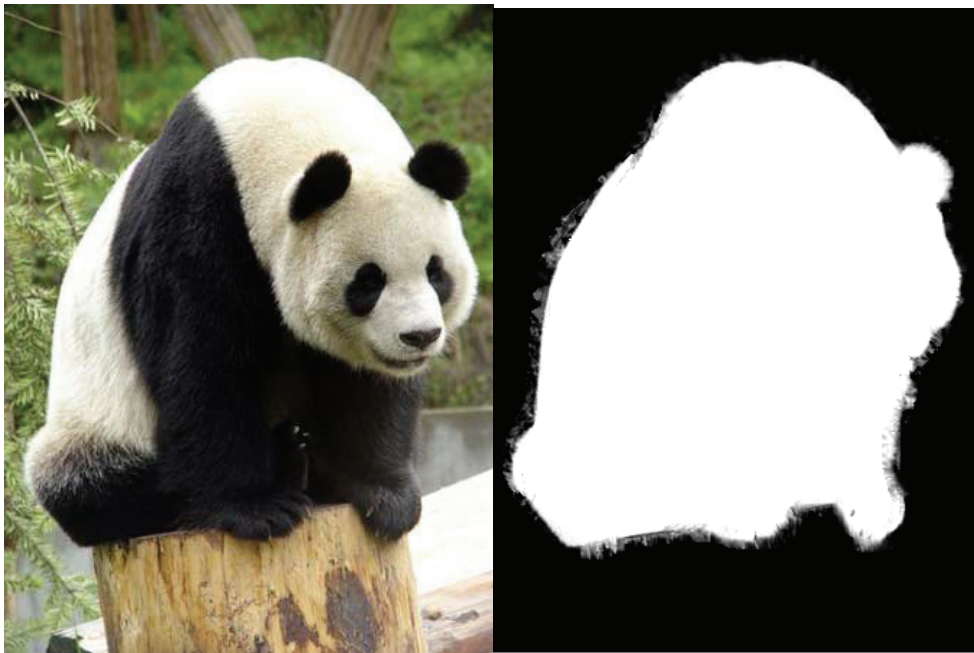


图 9

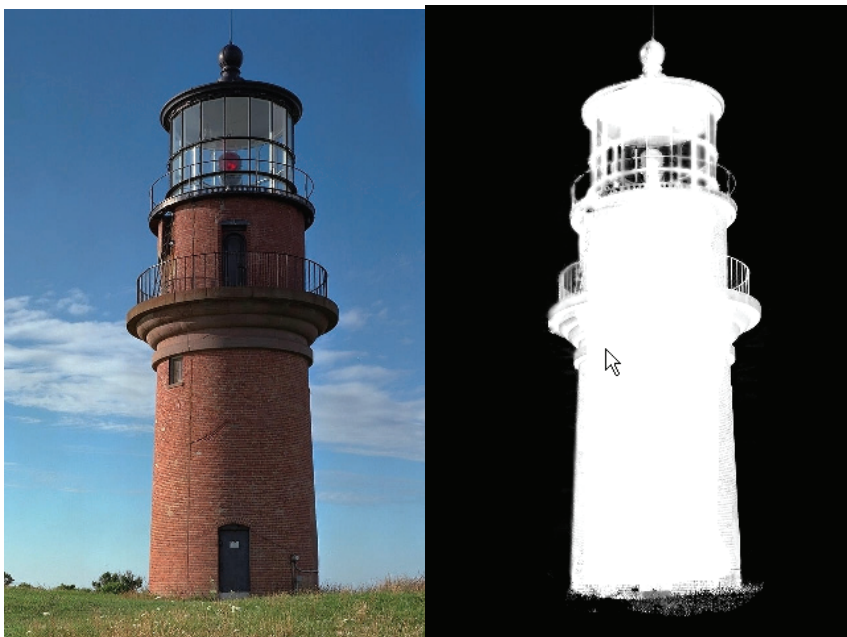


图 10



图 11



图 12

四、 References

- [1] Chuang, Y.-Y., Curless, B., Salesin, D. H., Szeliski, R. 2001. A bayesian approach to digital matting. In *Proceedings of CVPR 2001, Vol. II*, 264-271.
- [2] Jian Sun, Jiaya Jia, Chi-Keung Tang and Heung-Yeung Shum. Poisson Matting. In *Proceedings of ACM SIGGRAPH 2004, Vol 23, No. 3, April 2004*.
- [3] ROTHER, C., BLAKE, A., AND KOLMOGOROV, V. 2004. Grabcut - interactive foreground extraction using iterated graph cuts. In *Proceedings of ACM SIGGRAPH 2004*.
- [4] Yin Li, Jian Sun, Chi-Keung Tang, Heung-Yeung Shum, 2004, Lazy Snapping, In *Proceedings of ACM SIGGRAPH 2004*.